

## 東京・関東郵政局資材部倉庫の設計と施工

岩木 邇\*  
 倉田 勝 弘\*  
 中江 新太郎\*\*

## 1. はじめに

三公社（電々、専売、国鉄）四現業（郵政、林野、印刷、造幣）の一つである郵政省は、郵便、貯金、保険の三事業を、全国津々浦々にある郵便局を窓口として、日夜全国の皆様に親しまれる機関たるべく努力している。その郵便局で使われる赤自転車、ポスト、かばん、職員の制服や貯金の払出し用紙など千三百種に及ぶ物品を購入し、保管し、配給するのが資材部である。全国を 12 のブロックに分け、各ブロックごとに置かれる郵政局にそれぞれ資材部倉庫があるが、今回、東京、関東両郵政局の倉庫が手ぜまになったので、一つの建物に統合して新築することになった。東京・関東郵政局資材部倉庫は一都七県にある 4216 局（56 年 8 月現在）の郵便局を受け持つ大きな配送センターである（写真-1）。建築場所は東京都の白鬚防災拠点に近く、京成閑屋駅前に位置し、敷地の南側を隅田川が流れている。

以下、当建物の設計に関しては郵政省が、各種の現場実験を含めた工事状況は奥村組・古久根建設 JV が、それぞれ分担して報告する。

## 2. 設 計

## 2.1 基本計画

地上 5 階建ての基本計画案に対して、S 造、SRC 造、PRC 造などが考えられたが、工期、工事費を総合的に配慮して PRC 造とした。構造設計上の重点は躯体、外壁、屋根などのひび割れ防止、耐震性の確保に置いた。そのためには良質なコンクリートを打つ必要があり、使用水量を制限する代りに、高流動化剤を積極的に使用した。また、外壁は桁行方向をサッシ打込みのプレキャスト板、スパン方向妻面をアンボンドケーブル入りの現場打ち工法とし、内部耐震壁は後打ちコンクリート工法を指定した。屋根はアンボンドケーブルによる PRC 構造とし、防水層に依存しないコンクリート防水とも呼ぶべき工法を採用した。以上は、当省が一昨年建設した近畿郵政局資材部倉庫の実績をふまえて、改良、発展させた



写真-1 建物全景

ものである。

設計時点では現行の新耐震設計法が確立されていなかったが、中地震時、大地震時とに分けて、耐震設計を行った。ベースシャー係数は中地震時 0.2、大地震時 0.4、耐震壁の評価は剛性低下率  $\beta$  をそれぞれ 0.3、0.9 として、DEMOS-E で解析した。また、耐震性の向上を図って、柱に PC 鋼棒のスパイラルフープ（9.2 φ PC 鋼棒—ウルボン）を 50 mm ピッチで設計した。

各室の設計用積載荷重は表-1 のとおりである。

表-1 各室設計用積載荷重

単位 : kg/m<sup>2</sup>

室名	スラブ・小梁用	ラーメン用	地震用
屋根	300	200	100
一般倉庫	700	500	350
式紙倉庫	1 300	1 000	400
事務室	500	300	150

## 2.2 建物概要

設計：郵政大臣官房建築部

施工：奥村・古久根・建設工事共同企業体

建築面積：4 979 m<sup>2</sup>

延床面積：22 771 m<sup>2</sup>

高さ：軒高 21.8 m、最高部高さ 26.4 m

規模：地上 5 階、塔屋 1 階

構造：地上 1 階～5 階 スパン方向 PC 造  
 桁行方向 RC 造

\* 郵政省大臣官房建築部

\*\* (株) 奥村組技術研究所

# 報 告

塔 屋  
地 業: 場所打ちコンクリートぐい (ベノト工法)  
外 部: プレキャスト板, 一部 RC 現場打ち吹付け  
屋 根: コンクリート防水, 断熱ブロック敷き  
工 期: 着工 昭和 55 年 10 月  
竣工 昭和 57 年 6 月

図-1 に基準階平面図, 図-2 に断面図を示す。

## 2.3 構造概要

使用材料を表-2 に示す。

プレストレス導入には, CCL 工法によるシングル・ストランド・システムを採用した。写真-2 にボンデッド工法の定着具を, 図-3 にアンボンド工法の定着具を

示す。

表-2 使用材料

コンクリート	$F_c=350 \text{ kgf/cm}^2$ , 導入時 $F_c=300 \text{ kgf/cm}^2$ 使用水量 180 L/m <sup>3</sup> 以下 ベーススランプ 12 cm 打設時スランプ 18 cm (高流動化剤使用)
鉄筋	SD 30 (D 16 以下), SD 35 (D 19 以上)

PC鋼材	低レラクセーション材 大 梁 PC 鋼より線 SWPR 19 B 19 本より 17.8 φ 基 積 梁 アンボンド PC 鋼より線 SWPR 7 B 7 本より 屋上スラブ 15.2 φ 妻 壁 垂直方向 アンボンド PC 鋼棒 SBPR 15 φ 水平方向 アンボンド PC 鋼より線 SWPR 7 B 柱フープ PC 鋼棒 SBPR 9.2 φ
------	---

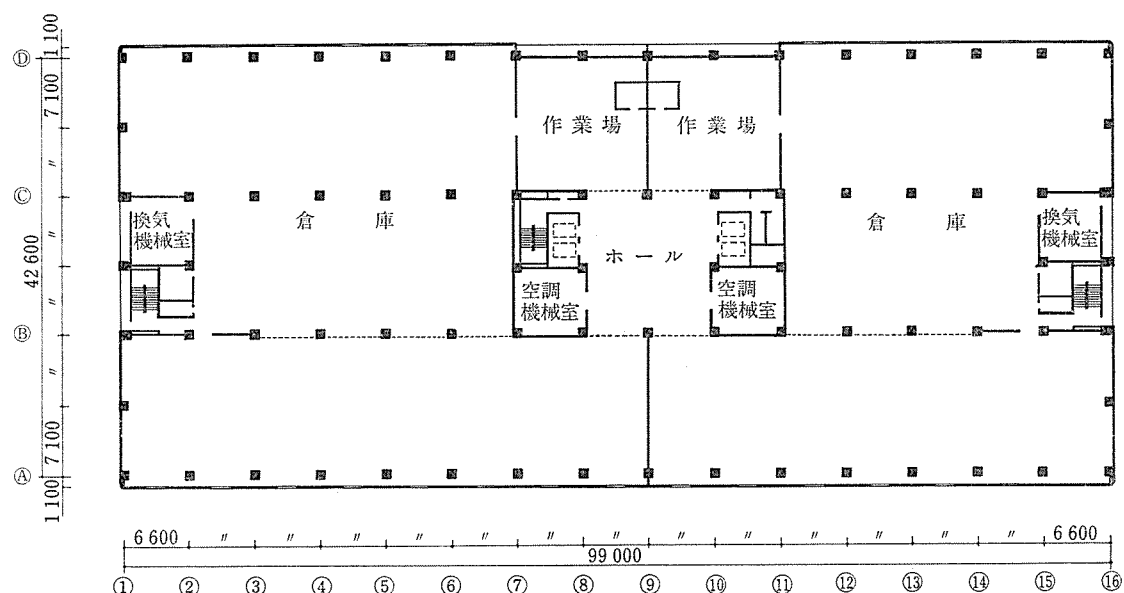


図-1 基準階平面図 (3階)

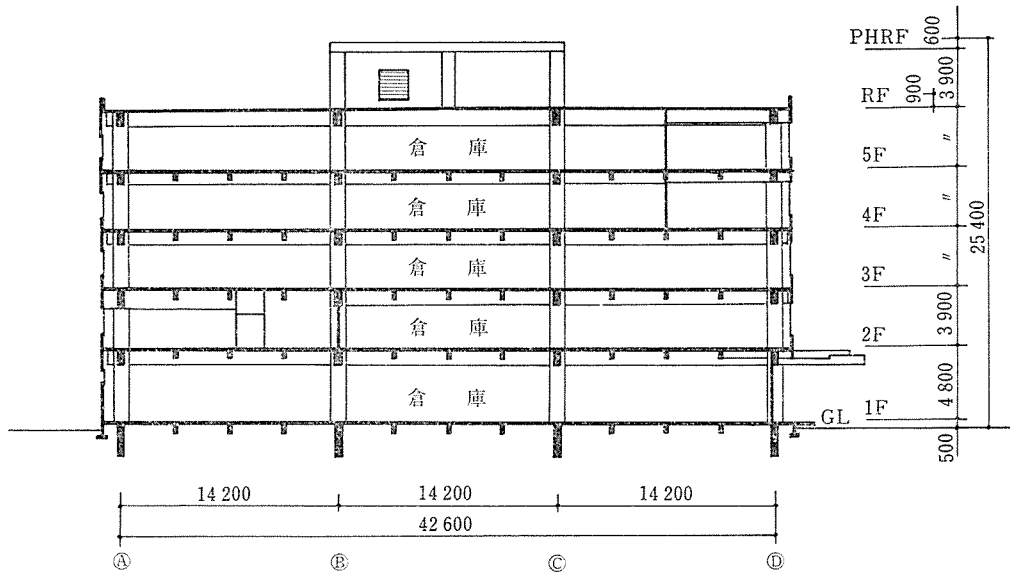


図-2 断面図

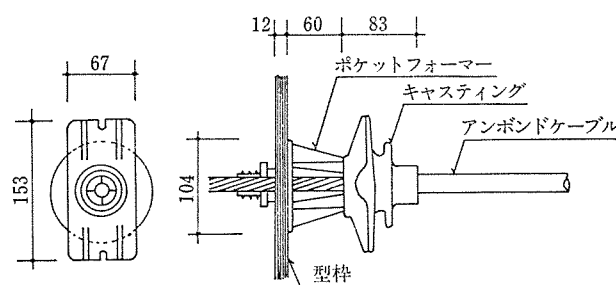
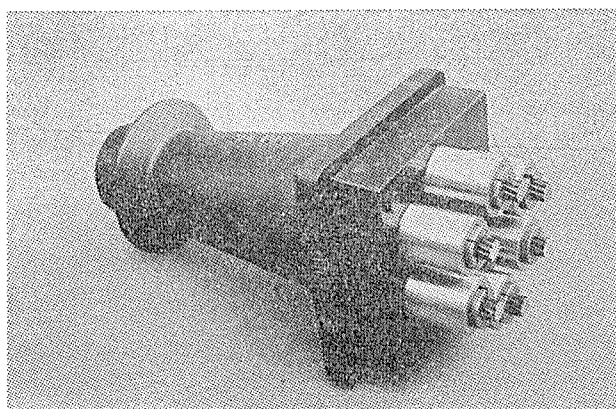


図-3 アンボンド工法の定着具

## 2.4 PC 部材の設計

### (1) 大 梁

図-4 に各階 PC 大梁の詳細を示す。2G～RG はボンデッド工法であり、固定荷重から積載荷重を含む全荷重を PC 設計時の釣合荷重とした。FG のみをアンボンド PRC 構造とした。FG については、スパンが 14.2 m もあり、将来建物の用途が変わっても変形をおさえる

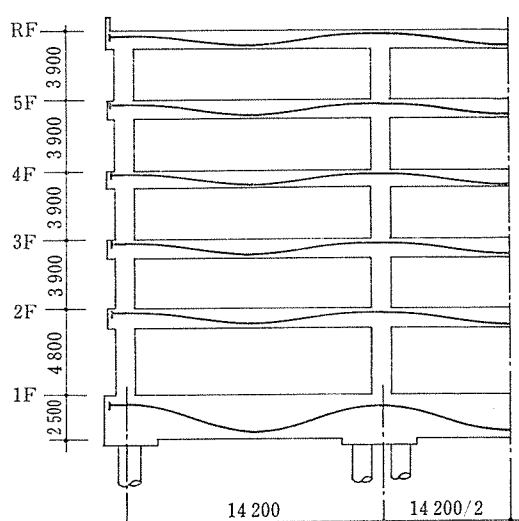


図-4 各階 PC 大梁の詳細

ことを考え、1階スラブを含む固定荷重のみを釣合荷重とし、積載荷重、水平荷重による応力に対しては、鉄筋コンクリート断面として設計した。

### (2) 屋根スラブ

屋根スラブは図-5 のようなアンボンドケーブルによる PRC 構造である。断面設計は日本建築学会編「プレストレスコンクリート設計施工規準・同解説」に準拠した。応力設計は一方向スラブとし、有効軸応力は約 20 kgf/cm<sup>2</sup> である。設計用角度変化に対する摩擦係数 ( $\mu$ ) を 0.12、波打ちに対する摩擦係数 ( $\lambda$ ) を 0.0035 とした。ケーブルの配置は施工性、床開口の可能性を考えて、2本たばねて 80 cm ピッチとした。床板軸力導入によるラーメンへの不静定力がかなり大きいため、5階の柱を一部補強した。

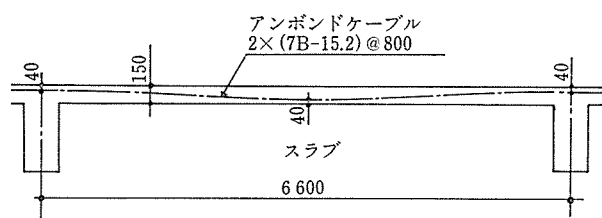


図-5 スラブアンボンドケーブル配線図

### (3) 妻面外壁

妻面の壁は現場打ちコンクリート壁なので、当然乾燥収縮によるひび割れが入ると懸念された。その対策として、約 10 kgf/cm<sup>2</sup> の拘束圧を加えるために、垂直方向には施工性を考慮してアンボンド PC 鋼棒を、水平方向にはアンボンド PC ケーブルを入れた。

予想どおり、1階には“V”字形の、最上階には“ハ”

1 梁あたりのストランド本数	1 梁あたりの緊張力 (tf)	コンクリート断面への導入圧縮応力度 (kgf/cm <sup>2</sup> )	
RG 400(600) × 900	SWPR 19本より 17.8φ 2×6本	280	21.7
5G 400(600) × 900	SWPR 19本より 17.8φ 2×6本	320	24.8
4G 400(600) × 900	SWPR 19本より 17.8φ 4×5本	470	36.4
3G 400(600) × 900	SWPR 19本より 17.8φ 2×6本	320	24.8
2G 400(600) × 1000	SWPR 19本より 17.8φ 2×6本	300	23.3
*FG 550 × 2200	SWPR 7本より 15.2φ 6本	108	8.9

\*FGはすべてアンボンド工法による

## 報 告

字形のひび割れが入ったが、エポキシ樹脂を併用しながら緊張した結果、外見上はひび割れが消滅し、完成後、かなり激しい風雨を受けても全く異常は認められなかつた。

### (4) 屋根断熱ブロックの設計

今回の設計ではコンクリートだけで防水することを一つのテーマとしてとりあげた。そのため、躯体への温度応力による影響を極力小さくする目的で、断熱ブロックを敷設した(図-6 参照)。

断熱性能試験の結果、表-3 のような値を得た。

今夏の数度にわたる集中性豪雨に対しても、屋根の防水機能は全く異常が認められていない。

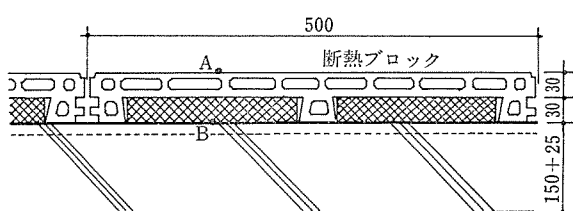


図-6 屋根断面ブロック

表-3 断熱ブロックの効果(57.4 測定)

単位: °C

部 位	最高温度	最低温度	温 度 差
A (ブロック表面)	42	2	40
B (ブロック下のスラブ面)	16	13	3
室 気 温	15	13	2
室 气 温	18	8	10

## 3. 施 工

### 3.1 施工概要

各部材にプレストレスを導入するにあたり、他の部材に及ぼす2次応力が構造物に悪い影響を与えないよう管理することにした。特に、大梁にプレストレスを導入する場合、柱の一部に引張応力度が発生し、ひび割れが生じかねない。そこで、大梁に導入するプレストレス  $T$  (tf)、柱に作用している軸力  $N$  (tf) および柱の発生最大縁引張応力度  $\sigma_t$  ( $\text{kgf/cm}^2$ ) の関係をグラフ化し、 $\sigma_t$  がコンクリートの許容引張応力度を超えないようにした。図-7 に2階柱の管理グラフを示す。ここで、コンクリートの許容引張応力度は  $1.8\sqrt{F_c}$  ( $F_c$  は設計基準強度) とした。これらの考慮により、各大梁に導入するプレストレスのタイミングと割合を表-4 のように決定した。1階柱は 2G へのプレストレス導入力が FG に比べてかなり大きく、逆に FG の方が 2G よりも剛性が高いので、コンクリートのクリープ変形の影響が 1階柱に及ぼすことが考えられた。そのため、FG, 2G を

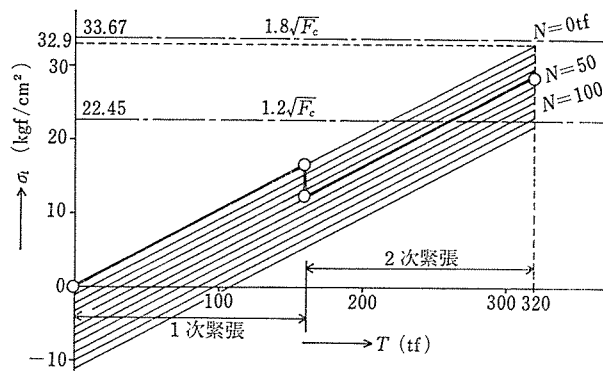


図-7  $\sigma_t \sim T \sim N$  の関係図

表-4 PS 導入のタイミングと割合

PC導入部材	時 期	と	割 合
FG	FG, 2 Gコンクリート強度発現後	FG : 100% } 2 G : 100% }	同時緊張
2 G			
3 G	3 Gコンクリート強度発現後	3 G : 50% } 緊張	
	4 G, 3 Gコンクリート強度発現後	4 G : 50% } 3 G : 75% }	同時緊張
4 G			
5 G	5 G, 4 Gコンクリート強度発現後	4 G : 25% } 5 G : 100% }	同時緊張
RG	RGコンクリート強度発現後	RG : 100%	緊張

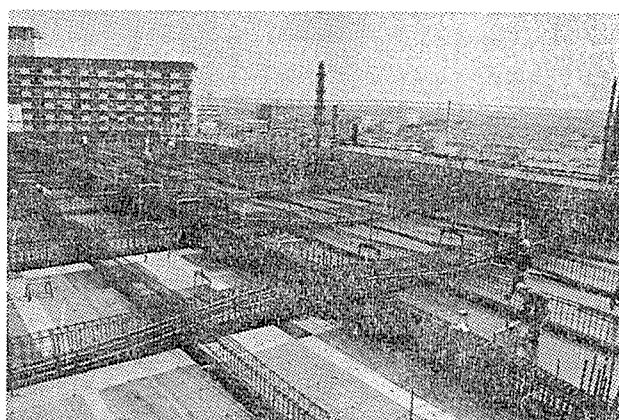
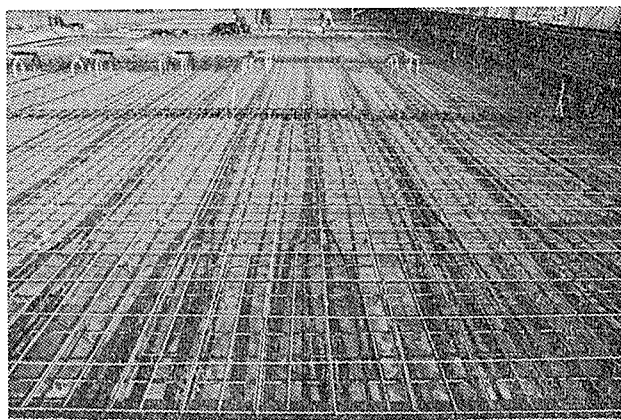


写真-3 シース配管



写真-4 大梁緊張作業



同時緊張することにしたものである。

PC 大梁の配線は、梁・スラブ型枠ができあがった後、梁筋を中吊りの状態で組立て、同時にシース配管した。コンクリート打設後 PC 鋼材をシース内に挿入し、所定のコンクリート強度発現後緊張した（写真-3, 4 参照）。屋根スラブアンボンド PC の配線状況を写真-5 に示す。

### 3.2 緊張力の管理

各工区ごとの PC 部材緊張前に、すべて試験緊張を行い、摩擦係数  $\mu$ ,  $\lambda$  を決定した。摩擦係数試験結果の一例を表-5 に示す。方法は緊張端と固定端にロードセルをセットし、それらの各荷重を測定することと、 $\mu$  と  $\lambda$  との比を一定値と仮定することにより、 $\mu$ ,  $\lambda$  を求めたものである。

PC 工事の緊張力管理は、荷重計の読みと PC 部材ののびとで管理する方法を採用した。

### 3.3 コンクリートの強度特性

設計基準強度  $350 \text{ kgf/cm}^2$  のコンクリートの調合を表-6 に示す。2階は昭和 56 年 8 月に、5 階は昭和 56

年 11 月に打設した。打設時には高流動化剤を後添加し、打設時スランプを  $18 \text{ cm}$  とした。高流動化剤添加によるスランプ変化量および空気量変化量の実測値を図-8 に示す。添加前の現場搬入時と添加後ポンプ打設

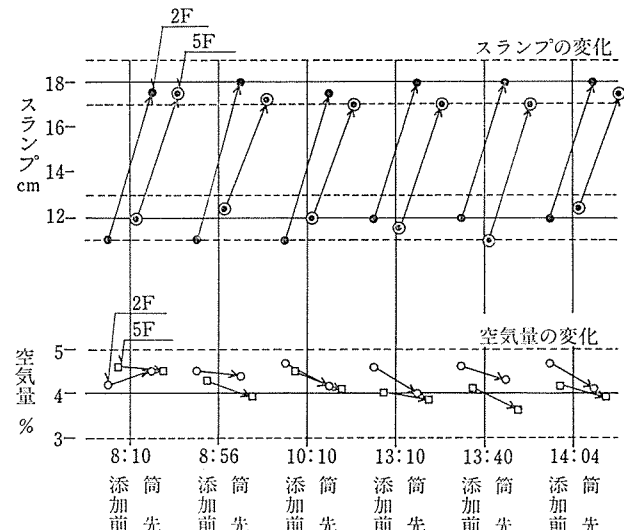


図-8 スランプ・空気量の変化

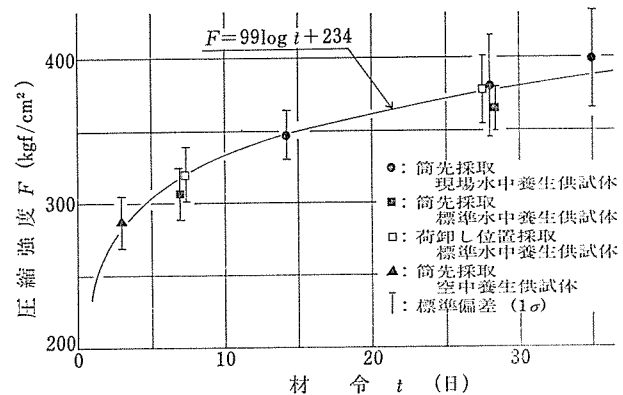


図-9 材令と圧縮強度との関係 (2 階打設コンクリート)

表-5 摩擦係数試験結果

種別	角度変化 rad.	長さ m	緊張側荷重 tf	固定側荷重 tf	$\mu$ 1/rad.	$\lambda$ 1/m	備考
基礎梁アンボンドケーブル	6.565	45.566	20	13.6~14.9	(0.12) 0.042	(0.0035) 0.0012	4 本の平均値
3Gストランド	0.912	42.816	20	12.9~13.8	(0.3) 0.298	(0.004) 0.0039	8 本の平均値
RSアンボンドケーブル	1.678	33.315	13~14	10~11	(0.12) 0.119	(0.0035) 0.0035	2 本の平均値

( ) は設計値

表-6 コンクリートの調合

場所	ベーススランプ cm	空気量 %	水セメント比 %	水	セメント			細骨材	粗骨材	細骨材率 %
					kg/m <sup>3</sup>					
2 階	12	4±1	41.6	169	406	768	1 016			43.9
5 階	12	4±1	39.5	172	425	730	1 031			42.3

## 報 告

による箇先到着時との変化の状態をプロットしてある。

2階に打設したコンクリートの材令  $t$  (日) と圧縮強度  $F$  ( $\text{kgf}/\text{cm}^2$ ) との関係は、図-9 に示すとおりで、

$$F = 99 \log t + 234$$

の関係を得た。さらに、柱のひび割れ制御のための管理として、コンクリートの引張強度試験と曲げ強度試験も行った。その結果、引張強度： $\sigma_t$  ( $\text{kgf}/\text{cm}^2$ )、曲げ強度： $\sigma_b$  ( $\text{kgf}/\text{cm}^2$ )、圧縮強度： $\sigma_c$  ( $\text{kgf}/\text{cm}^2$ ) とすれば、同一材令において、平均値で、

$$\sigma_t/\sigma_c = 1/11.4$$

$$\sigma_b/\sigma_t = 1.8$$

であった。プレストレス導入時の材令における許容引張応力度を、 $1.8\sqrt{F_c}$  と比較するとともに、これらの数値をも参考にして管理した。

3G のプレストレス導入は 50% を材令 20 日で、残りの 50% を材令 63 日で行った。この場合、材令 20 日におけるコンクリートの強度特性は、これらの実測値から、 $\sigma_c$  が  $363 \text{ kgf}/\text{cm}^2$ 、 $\sigma_t$  が  $31.8 \text{ kgf}/\text{cm}^2$ 、 $\sigma_b$  が  $57.2 \text{ kgf}/\text{cm}^2$  と推定できる。許容値とした  $1.8\sqrt{F_c}$  が  $33.7 \text{ kgf}/\text{cm}^2$  であり、 $\sigma_t$  とほぼ等しいが曲げ強度に対しては十分余裕がある。

### 3.4 梁緊張時の部材応力・変位

3G の④通りを対象として、梁緊張時における 3G および 2C (2階柱) の応力・変位の変化をワイヤ・ストレン・ゲージとリング型変位計により実測した。さらに、緊張後のコンクリートのクリープによる変形をも実測した。図-10 に緊張力導入後約 4か月経過した時点

でトランシットにより計測したスパン方向の縮み量分布を示す。また、図-11 には 3G に 1 次緊張力を導入した (材令 20 日) 後 2 次緊張を行いうまでの約 1.5か月間計測した水平方向および鉛直方向変位量の経時変化を示す。

④通りのスパン 42.6 m に対する 1 次緊張完了時の縮み量が  $1.39 \text{ mm}$ 、1.5か月間のクリープによる縮み量が  $5.13 \text{ mm}$ 、2 次緊張導入による縮み量が  $1.66 \text{ mm}$  であった。結局合計すると  $8.18 \text{ mm}$  縮んだ。さらに、4か

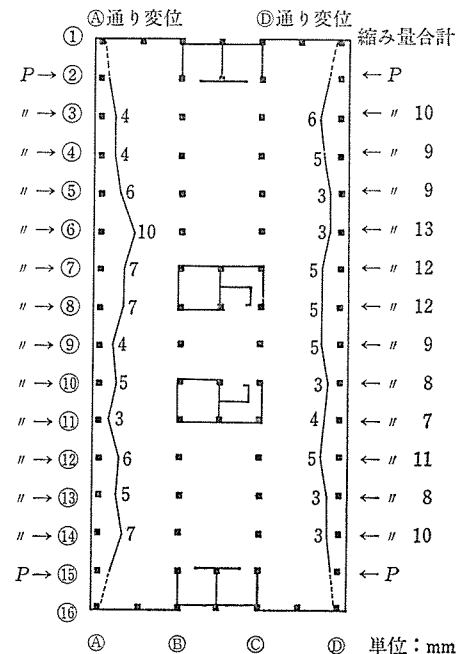


図-10 スパン方向の縮み量分布

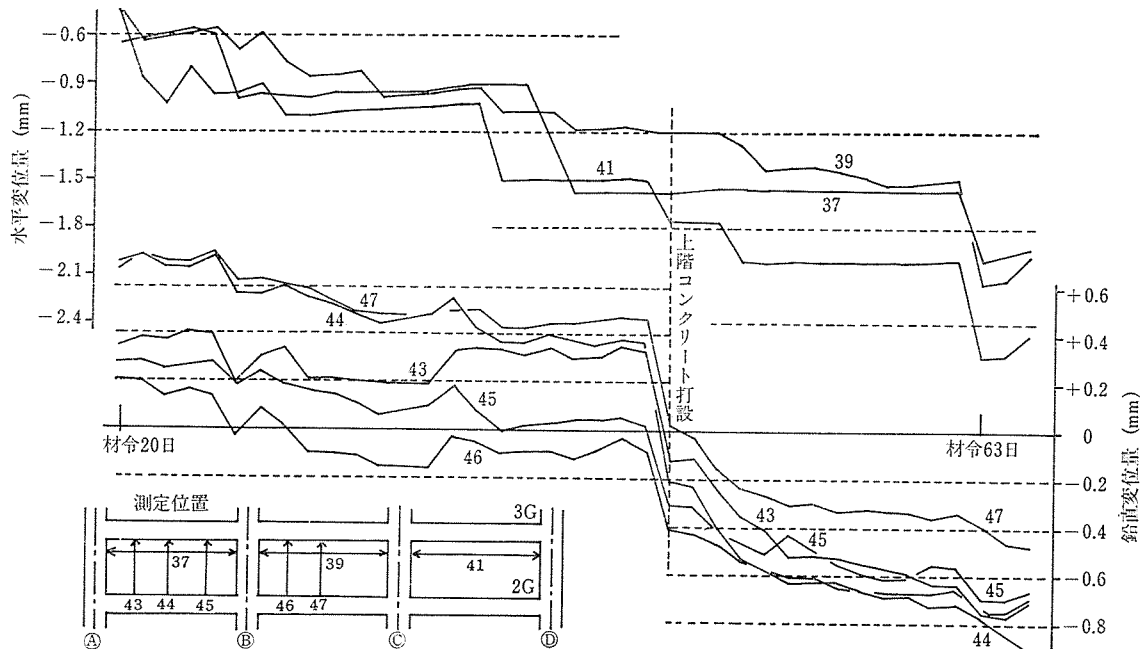


図-11 变位量の経日変化

月経過後この値は 9 mm となっていることがわかる。プレストレス導入による実測弾性歪はスラブの協力幅を桁行スパン分考慮すると計算値とほぼ一致する。梁の応力も計算どおりであった。クリープ歪はかなり大きな値がでた。しかし、実測したこのクリープ歪によるプレストレス有効率の低下は約 2% であり、4か月という材令を考慮すれば、構造的には、設計用プレストレス有効率 85% に対して十分安全な値である。全体の縮み量絶対値が約 10 mm であり、仕上げ段階における納まりには十分注意をはらった。

図-12 に鉛直方向の各施工段階における変位分布を示す。一時的に型枠用パイプサポートがきかないような状態になることがある、これらの管理に注意をはらう必要があった。

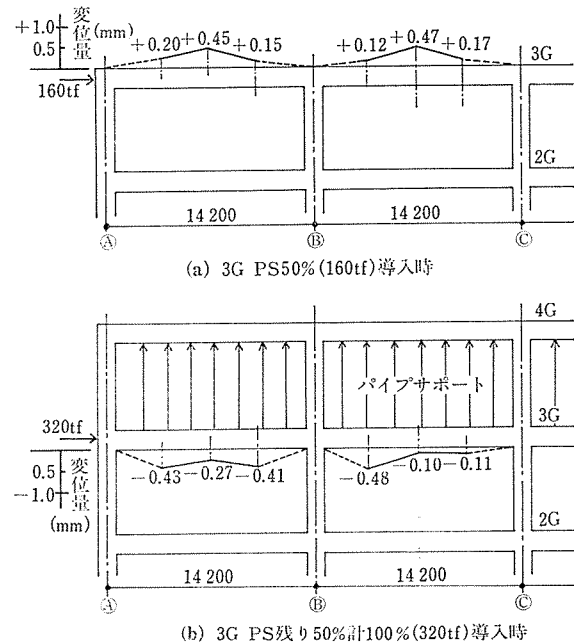


図-12 鉛直方向変位分布

### 3.5 屋根スラブ緊張時の部材応力・変位

屋根スラブについても、前項と同様に、スラブの応力・変位を計測した。表-7 に水平方向の変位実測値を、図-13 に鉛直方向の変位分布を示す。スパン方向については大梁に、桁行方向については直接スラブにプレストレスを導入し、スラブコンクリートにひび割れを発生させないようにすることにより、防水層機能をコンクリートスラブのみに持たせている。これらの計測で所定のプレストレスが均等にバランスよく導入されていることが確認できた。

## 4. おわりに

当建物は、コンクリートのひび割れ発生をプレストレ

表-7 水平方向変位実測値

計測場所	実測縮み量 mm	
	RSのPS導入時	8日間放置後
⑥通り～⑦通り間	0.58	0.83
⑤通り～⑥通り間	0.47	0.73
④通り～⑤通り間	0.48	0.72
③通り～④通り間	0.47	0.68
②通り～③通り間	0.53	0.75
①通り～②通り間	0.39	0.61
合計	2.92	4.32

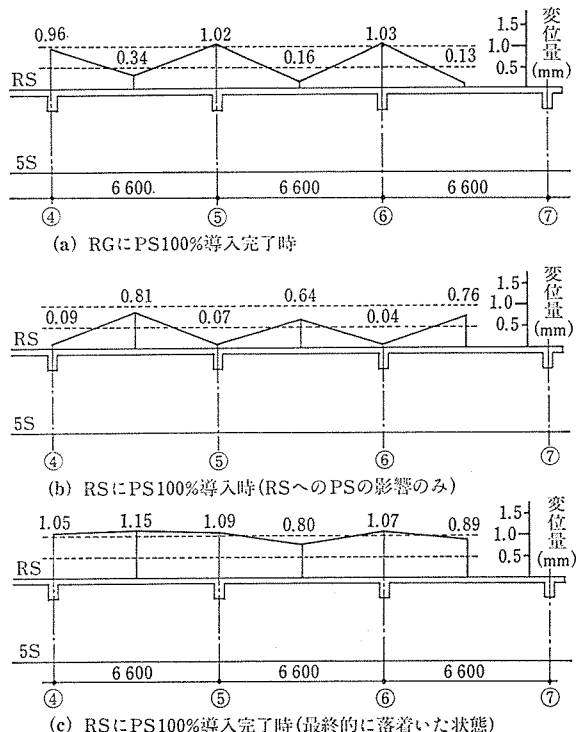


図-13 鉛直方向変位分布

スでコントロールすることにより、屋根スラブをコンクリートのみで防水したという大きな特長をもっている。PC 構造のこのような利用には、大きなメリットがある。屋根スラブとともに、一般階における PC 構造の設計および施工もあわせて、ここに報告した。

末稿ながら、この建物の設計・工事の両面にわたって、懇切な御指導を賜わった京都大学教授六車熙博士に對して深甚の謝意を表する次第であります。

### 参考文献

- 1) 倉田、中江：プレストレストコンクリート部材施工時の応力・変位変動に対する管理（東京・関東郵政局資材部倉庫新築工事における実測例），日本建築学会 57 年度大会学術講演梗概集
- 2) 六車：アンボンドプレストレストコンクリート，GBRC
- 3) 岩木他：アンボンドケーブルを使用した倉庫の設計と施工（近畿郵政局資材部倉庫），プレストレストコンクリート，Vol. 22, No. 6